

بررسی خصوصیات بافتی و حسی پخشینه مالت عسلی

محمد دیانت^۱، فخری شهیدی^۲، مسعود تقی‌زاده^{۳*}، سید محمدعلی رضوی^۲

۱- دانشجوی کارشناسی ارشد علوم و صنایع غذایی دانشکده کشاورزی دانشگاه فردوسی مشهد

۲- استاد بخش علوم و صنایع غذایی دانشکده کشاورزی دانشگاه فردوسی مشهد

۳- استادیار بخش علوم و صنایع غذایی دانشکده کشاورزی دانشگاه فردوسی مشهد

(تاریخ دریافت: ۹۴/۰۸/۲۸ تاریخ پذیرش: ۹۴/۱۱/۱۱)

چکیده

در این پژوهش، خصوصیات بافتی محصول جدیدی به نام پخشینه^۱ مالت عسلی، با استفاده از دستگاه تحلیل گر بافت بروکفیلد و آزمون اکستروژن پسرو ارزیابی شد. از ۲ سطح بریکس عصاره مالت جو (بریکس های ۷۴ و ۷۹ درجه) و ۳ سطح نسبت های عصاره مالت به عسل (۷۵:۲۵، ۶۵:۳۵ و ۷۰:۳۰) استفاده شد. بررسی شاخص های رنگی پخشینه ها توسط روش پردازش تصویر صورت گرفت. همچنین طی ۱۲ آزمون، بررسی دقیق ویژگی های حسی این پخشینه انجام شد. نتایج آزمون های بافت سنجی نشان داد با افزایش بریکس عصاره مالت و درصد عسل پخشینه، سفتی، قوام، نیروی چسبندگی و شاخص گرانروی پخشینه افزایش می یابد و تأثیر بریکس عصاره مالت بیشتر از درصد عسل بود. با افزایش درجه بریکس عصاره مالت، شاخص های L^* , a^* و b^* افزایش یافته است در حالی که با افزایش درصد عسل پخشینه، L^* و a^* افزایش و b^* کاهش یافته است. نتایج ارزیابی حسی بیانگر آن بود که پخشینه های دارای بالاترین درجه بریکس عصاره مالت و بیشترین درصد عسل، بیشترین امتیازات هدوینیک را داشتند و بالاترین میزان چسبندگی دستی، گرانروی، چسبندگی به لب ها، چسبندگی به کام، چسبندگی به دندان، سفتی و انسجام نیز در همین نمونه پخشینه مشاهده شد. البته پخشینه های با کمترین میزان عسل، دارای بیشترین مالش پذیری بودند اما پخشینه ها از نظر این ویژگی با هم اختلاف آماری معنی داری نشان ندادند ($P > 0.05$) و به طور کلی، تمام نمونه ها امتیاز مالش پذیری بالایی داشتند. با چشم پوشی از اثر نسبتاً کم درصد عسل در کاهش مالش پذیری پخشینه ها، می توان نتیجه گرفت که ارزیابان حسی، پخشینه های با میزان عسل بیشتر و عصاره مالت با بریکس ۷۹ درجه را بر سایر پخشینه ها ترجیح دادند.

کلید واژگان: مالت عسلی، پخشینه، حسی، بافت

*مسئول مکاتبات: mtaghizadeh@um.ac.ir

[۱۰، ۱۱ و ۱۲] و از لحاظ حضور اسیدهای آمینه مورد نیاز بدن در وضعیت نسبتاً خوبی قرار دارد به طوری که از کل اسیدهای آمینه موجود در عصاره مالت، پنج اسیدآمینه پروولین، لوسین، آرژینین، فنیل آلانین و والین به فراوانی در انواع عصاره‌های مالت وجود دارند اما همه عصاره‌ها در سطح پائینی از گلایسین و متیونین و سطح ناچیزی سیستئین قرار دارند [۱۳]. بتاگلوکان موجود در عصاره مالت با تأثیر بر روی سلول‌های لاکتوتروپ هیپوفیز قدامی، منجر به ترشح پرولاکتین می‌شود که درنتیجه ترشح این ماده، شیر مادر افزایش می‌یابد لذا متخصصان توصیه می‌کنند از عصاره مالت که یک غذای لاکتوژنیک قوی محرک ترشح شیر است، در رژیم غذایی مادران شیرده استفاده شود [۱۴]. عصاره مالت به دلیل دارا بودن ترکیبات فنولی زیاد، در گروه مواد غذایی با خاصیت آنتی اکسیدانی بالا قرار می‌گیرد لذا عصاره مالت با حذف رادیکال‌های هیدروکسیل و سوپراکسید، توانایی بالایی در کاهش آسیب‌های اکسایشی دارد و سبب ارتقای سلامتی دستگاه گوارش یا تحریک فعالیت سیستم آنزیمی سم زدایی کبدی می‌گردد [۹].

در چند دهه اخیر استفاده از عسل در فراورده‌های غذایی، به طور پیوسته افزایش یافته است، زیرا عسل دارای اثرات فیزیولوژیکی مختلفی چون فعالیت‌های ضدویروسی، ضدمیکروبی، ضدانگلی، آنتی اکسیدانی، ضدموتابسیون و ضدتوموری است [۱۵]. نتایج بررسی‌های نشان می‌هد که عسل با داشتن ویژگی‌های منحصر به فرد خود، می‌تواند به عنوان یک مکمل غذایی در بیماری‌هایی همچون ناراحتی‌های دستگاه تنفسی، عفونت‌های داخل بدن و ناحیه حلق، ناراحتی‌های مفصلی، خستگی عمومی و احساس سرما استفاده شود [۱۶].

در این پژوهش، پخشینه جدیدی به نام مالت‌عسلی مورد بررسی قرار گرفته که ترکیبی از دو ماده بالارزش تغذیه‌ای بالا به نام عصاره مالت جو و عسل طبیعی است. این پخشینه از لحاظ قابلیت مالش‌پذیری، بافت، طعم، مزه، رنگ و سایر ویژگی‌های حسی باید در شرایط قابل قبولی جهت پذیرش مصرف کننده باشد. لذا در این تحقیق تلاش شده است تا با انجام مجموعه‌ای از آزمون‌های بافتی و حسی، بهترین فرمولاسیون برای تولید این پخشینه بدست آید.

۱- مقدمه

پخشینه‌ها فراورده‌های غذایی هستند که بر پایه‌ی نوع خاصی از مواد غذایی تولید می‌شوند و دارای قابلیت پخش شدن روی مواد غذایی دیگر همچون نان و کراکر هستند. پخشینه‌ها را می‌توان بر اساس نوع مواد تشکیل دهنده، به انواع مختلف تقسیم‌بندی کرد. از معروف‌ترین پخشینه‌ها می‌توان پخشینه‌های لبني کره، خامه، پنیر، پنیر خامه‌ای و پخشینه‌های گیاهی مربا، مارمالاد، مارگارین، کره بادامز مینی، کره کنجد و پخشینه‌های کم‌چرب نام برد. عمدۀ پخشینه‌های موجود در بازار به صورت امولسیون آب در روغن است هرچند انواع مختلفی از امولسیون‌های روغن در آب نیز یافت می‌شود [۱ و ۲].

اگرچه عموماً واژه پخشینه برای فراورده‌های حاوی چربی باقابیت پخش شدن به کار می‌رود ولی این واژه برای مواد غذایی شبیه عسل نیز استفاده می‌شود [۳]. در اکثر اوقات مشاهده شده که در فرمولاسیون پخشینه‌ها از خاصیت طعم‌دهنگی، رنگ‌دهنگی و سایر ویژگی‌های میوه‌ها در تولید پخشینه‌ها استفاده شده است [۴]. برخی از پخشینه‌ها نیز برای اهداف تغذیه‌ای خاص و برخی دیگر به منظور تأمین یک رژیم غذایی سالم تولید می‌شوند. از این منظر، توسعه محصولات جدید مانند پخشینه‌های میوه‌ای فرموله شده با قندهای سالم مانند فروکتوز و ایزو‌مالتوز برای گروه‌های خاصی از جمعیت مانند کودکان و شهروندان بزرگسال مورد توجه است و این محصولات باید قادر اثرات نامطلوب مانند پوسیدگی دندان و دیابت (مرتبط با مصرف قندها) باشند [۵ و ۶].

عصاره مالت فراورده‌ای است که از تبخیر و تغليظ عصاره آبی دانه‌های غلات خصوصاً جو که فرایند تشکیل مالت را گذرانده‌اند، بدست می‌آید [۷]. این محصول قابلیت پخشینه شدن دارد اما تابه‌حال در هیچ منبعی از این کاربرد عصاره مالت نام برده نشده است. عصاره مالت دارای ارزش تغذیه‌ای بسیار بالایی است. عصاره مالت حاوی ترکیبات آنتی اکسیدانی شامل پلی فنول ها، کاروتونوئیدها (لوتین و زنانگرatin) و توکوفرول ها (آلغا، دلتا و سیگما) می‌باشد [۸ و ۹]. عصاره مالت همچنین دارای ویتامین‌های C، B₁، B₂، B₃، B₅، B₆ و همچنین حاوی عناصر معدنی مفیدی چون روی، آهن، منیریم، کلسیم و فسفر است

۲- مواد و روش‌ها

۱-۲- تهیه عصاره مالت

عصاره مالت جو با ۲ درجه بریکس ۷۴ و ۷۹ از شرکت نیرومالت خراسان تهیه گردید که خصوصیات ترکیب شیمیایی آن بر اساس آزمون‌های انجام‌گرفته بر اساس استاندارد ملی شماره ۳۸۹۷، در جدول (۱) آمده است.

Table 1 Chemical composition and characteristic of barley malt extract

| | Moisture (%) | Ash (%) | Sugar (%) | pH | Protein (%) | refraction degree (°) |
|--------|--------------|---------|-----------|-----|-------------|-----------------------|
| Amount | 17.2 | 1.4 | 58.5 | 5.6 | 3.8 | 1.48 |

نجف‌آباد اصفهان تهیه گردید که خصوصیات ترکیب شیمیایی آن بر اساس آزمون‌های انجام‌گرفته بر اساس استاندارد ملی شماره ۹۲، در جدول (۲) آمده است.

Table 2 Chemical composition and characteristic of honey

| | Moisture (%) | Ash (%) | Reducer sugar (%) | pH | fructose/glucose | Sucrose (%) |
|--------|--------------|---------|-------------------|-----|------------------|-------------|
| Amount | 17.8 | 0.2 | 65.0 | 4.4 | 1.0 | 5.0 |

۵۰ دور در دقیقه همگن کرده و بعد از اتمام این کار، نمونه‌ها در شرایط دمای محیط (۲۵ درجه سانتی‌گراد) قرار داده می‌شوند. همه نمونه‌های پختشی در جدول (۳)، معرفی گردیده است.

۴- آزمون بافت سنجی

نمونه‌های آماده‌شده به مدت یک ساعت قبل از انجام آزمون در دمای محیط قرار گرفتند. در این پژوهش، آزمون تجربی اکستروژن (روزناری) پسرو^۱ با استفاده از دستگاه تحلیل گر بافت (Texture Analyzer Brookfield CT3-10kg, USA) برای ارزیابی نمونه‌ها مورد استفاده قرار گرفت. ارتفاع نمونه‌ها در ظرف استوانه‌ای آزمون (با قطر ۴۰ میلی‌متر و ارتفاع ۵۰ میلی‌متر)، ۳۰ میلی‌متر بود و بهینه‌سازی شرایط آزمون به صورت تجربی انجام شد. در این آزمون، که با استفاده از پرورب صاف استوانه‌ای با قطر ۲۵/۴ میلی‌متر و با سرعت جابجاگایی رفت‌وبرگشت ثابت (۱ میلی‌متر بر ثانیه) انجام می‌گرفت، میزان تغییرشکل ۵۰ درصد بود و با توجه به این شرایط، چهار پارامتر سفتی^۲، قوام^۳، نیروی چسبندگی^۴ و شاخص گرانوی^۵ اندازه‌گیری و تعیین شد.

۲-۲- تهیه عسل

عسل طبیعی با نام تجاری "عسل حکیم‌باشی" تولید شده در

۳-۲- آماده‌سازی نمونه‌ها

جهت آماده‌سازی نمونه‌ها از دو نوع تیمار استفاده شده است: یکی میزان درجه بریکس عصاره مالت به کار رفته در این مخلوط و دیگری درصد مخلوط‌شدن عصاره مالت و عسل؛ لذا در قالب تیمار اول، بریکس‌های ۷۹ و ۷۴ درجه عصاره مالت تهیه شد و در قالب تیمار دوم، نسبت‌های عصاره مالت به عسل ۶۵:۳۵، ۷۰:۳۰ و ۷۵:۲۵ تهیه شدند. نحوه آماده‌سازی نمونه‌ها به این صورت بود که ابتدا بعد از توzین و انتخاب مواد اولیه و قرار دادن آن‌ها در ظروف، آن‌ها را به بن‌ماری انتقال داده و حداقل به مدت ۳۰ دقیقه تحت دمای ۵۵ درجه سانتی‌گراد قرار داده شدند، علت انجام این کار، سهولت و بهبود مخلوط‌کردن این دو ماده برای رسیدن به نمونه نهایی بود.

Table 3 Coding of honey-malt spreads samples

| Concentrate of malt extract (°Brix) | Ratio (w/w) | Sample code |
|--|----------------|----------------|
| 74 | 35:65 | B74P35 |
| | 30:70 | B74P30 |
| | 25:75 | B74P25 |
| | 35:65 | B79P35 |
| 79 | 30:70 | B79P30 |
| | 25:75 | B79P25 |
| | 35:65 | B74P25 |

بعد از گذشت این مدت‌زمان، نمونه‌ها را در همان شرایط دمایی و مکانی، توسط همزن برقی مکانیکی به مدت ۱۵ دقیقه و با سرعت

1. Backward extrusion
2. firmness
3. consistency
4. Adhesive force
5. Viscosity index

Table 4 Texture profile attribute definitions

| Texture attribute | Definition |
|----------------------------|---|
| <i>Non-oral</i> | |
| Manual adhesiveness | Force required to separate individual pieces adhering to each other using the back of a spoon, after placing entire contents of the standard cup on a plate |
| Viscosity | Degree of resistance when stirred by a spoon |
| spreadability | Amount of easily move the product on a solid food (e.x., bread) |
| <i>Oral</i> | |
| <i>Initial lip contact</i> | |
| Adhesiveness to lips | Degree to which the product stick/adheres to the lips. The sample is placed between the lips and compressed once slightly and released to assess lip adhesiveness |
| <i>Initial bite</i> | |
| Cohesiveness | Amount of deformation undergone by the material before rupture when biting completely through sample with molars |
| Adhesiveness to palate | Force required to remove product completely from palate, using tongue, after compression of the sample between tongue and palate |
| Firmness | Force required to bite completely through sample placed between molars |
| <i>After chewing</i> | |
| Adhesiveness to teeth | Amount of product adhering on/in the teeth after mastication of the product |
| Moisture absorption | Amount of saliva absorbed by the sample after mastication of product |

شدند، به همراه یک فرم امتیازدهی به ویژگی‌های حسی نمونه‌ها، یک تکه نان تست، قاشقک برای هرنمونه و یک بطری آب در اختیار هر ارزیاب قرار گرفت. ارزیابی حسی در طی چندین مرحله متسوالی و در غرفه ویژه ارزیابی حسی آزمایشگاه فرمولاسیون مواد غذایی انجام شد. ارزیابی ویژگی‌های غیر دهانی و دهانی به روش درجه‌بندی ۷ فاصله‌ای یکقطبی بر روی محور خطکشی شده (۱: کمترین و ۷: بیشترین) انجام شد اما ویژگی‌های رنگ، طعم و بو به روش هدونیک ۷ فاصله‌ای انجام شد. پذیرش کلی نیز به همین روش صورت گرفت، ولی گزینه‌های ارزیابی آن متفاوت بود. گزینه‌های ارزیابی هدونیک در جدول (۵)، آمده است. از افراد خواسته شد جهت حذف اثر هر نمونه بر نمونه دیگر، بین ارزیابی هر دو نمونه، دهان خود را با آب ولرم شستشو دهند.

حداکثر نیروی مورد نیاز برای نفوذ پروب به عنوان سفتی، حداکثر نیروی مورد نیاز برای جدا کردن پروب از نمونه به عنوان نیروی چسبندگی، سطح زیر منحنی مثبت به عنوان قوام و سطح زیر منحنی منفی به عنوان شاخن‌گرانروی اتخاذ گردید [۱۷]. آزمون‌ها در ۲ تکرار انجام و متوسط آن‌ها گزارش شد.

۲-۵- آزمون ارزیابی حسی

طی دو جلسه آموزشی ۲ ساعته، تعداد ۱۰ نفر شامل ۴ آقا و ۶ خانم در رده سنی ۲۰-۳۰ سال، ۱۳ ویژگی حسی را مطابق با نظرات لولس و هیمن (۲۰۱۰) برای نمونه‌های پختشیه مالت عسلی تعریف کرده و مورد بررسی قرار دادند [۱۸]. تعاریف ارائه شده به ارزیاب‌ها در جدول (۴)، آمده است. نمونه‌ها به مدت یکساعت قبل از انجام آزمون در دمای محیط قرار گرفتند تا یکسان‌سازی دمایی انجام شود. به منظور انجام آزمون حسی، نمونه‌هایی که به صورت تصادفی با یک کد ۳ رقمی نام‌گذاری

Table 5 Numerical equivalent for parameters of hedonic sensory evaluation in test form

| Color, taste and odor | | Overall acceptance |
|-----------------------|----------------------|--------------------------|
| 1 | Very bad | Dislike very much |
| 2 | Moderately bad | Dislike moderately |
| 3 | Slightly bad | Dislike slightly |
| 4 | Neither bad nor good | Neither dislike nor like |
| 5 | Slightly good | Like slightly |
| 6 | Moderately good | Like moderately |
| 7 | Very good | Like very much |

مقایسه شدند. متغیرهای وابسته نیز شامل خصوصیات حسی، رنگ و خصوصیات بافتی بودند. اندازه‌گیری تمام متغیرهای وابسته در سه سطح درصد عسل (۲۵، ۳۰ و ۳۵ درصد) و دو سطح درجه بریکس (۷۴ و ۷۹ درجه) انجام گرفت. تمامی تحلیل‌ها با استفاده از نرم‌افزار minitab نسخه ۱۶ صورت گرفت. جهت بررسی همبستگی بین خصوصیات حسی و دستگاهی نیز از روش PCA با استفاده از نرم افزار xlstat نسخه سال ۲۰۱۵ میلادی استفاده شد.

۳- نتایج و بحث

۱- ارزیابی بافت

سفتی

نتایج آنالیز واریانس نشان داد که درجه بریکس بر میزان سفتی پخشینه، تأثیر بسیار معنی دار ($P < 0.01$) و درصد عسل تأثیر معنی داری دارد ($P < 0.05$) ولی اثرات متقابل درجه بریکس و درصد عسل تأثیر معنی داری نداشته است ($P > 0.05$).

Table 6 textural and color data of honey-malt spread at different brix (74 and 79 °Brix), ratios mixes (65:35, 70:30 and 75:25).

| Sample code | Firmness (g) | Consistency (g.s) | Adhesive force (g) | Viscosity index (g.s) | a* | b* | L* |
|-------------|-----------------------|-------------------|-----------------------|-----------------------|--------------------|--------------------|--------------------|
| B74P35 | 39.50 ± 0.07^c | 4.05 ± 0.07^c | 14.50 ± 0.07^c | 2.85 ± 0.07^c | 18.97 ± 0.01^f | 54.44 ± 0.01^b | 52.70 ± 0.01^b |
| B74P30 | 39.00 ± 0.00^c | 3.75 ± 0.07^d | 10.50 ± 0.07^d | 2.70 ± 0.00^c | 21.15 ± 0.08^d | 53.72 ± 0.04^c | 50.37 ± 0.06^c |
| B74P25 | 38.50 ± 0.07^c | 3.60 ± 0.07^d | 8.00 ± 1.41^d | 2.35 ± 0.07^d | 24.44 ± 0.03^b | 46.27 ± 0.06^c | 43.50 ± 0.02^c |
| B79P35 | 56.50 ± 0.07^a | 5.05 ± 0.07^a | 25.50 ± 0.07^a | 4.85 ± 0.07^a | 19.16 ± 0.10^e | 54.73 ± 0.08^a | 54.00 ± 0.05^a |
| B79P30 | 54.50 ± 0.07^{ab} | 4.75 ± 0.07^b | 22.50 ± 0.07^{ab} | 4.75 ± 0.07^a | 23.71 ± 0.02^c | 48.48 ± 0.04^d | 47.35 ± 0.01^d |
| B79P25 | 53.50 ± 0.07^b | 4.65 ± 0.07^b | 21.50 ± 0.07^b | 4.35 ± 0.07^b | 26.39 ± 0.04^a | 44.13 ± 0.01^f | 43.36 ± 0.01^f |

Values with the different superscripts in the same column are significantly different ($P > 0.05$).

آب هستند، با افزایش درجه بریکس، میزان انحلال قندها در آب نیز کاهش یافته و ساختار محصول نهایی از سفتی بالاتری برخوردار می‌گردد و درنتیجه پخشینه مقاومت بیشتری نسبت به نفوذ پروب دستگاه بافت سنج ایجاد می‌کند. این یافته‌ها با نتایج مردانه و همکاران (۱۳۹۵)، اورین و همکاران (۲۰۱۳) و مولینا-روبو و همکاران (۲۰۱۰) مطابقت داشت. مردانه و همکاران (۱۳۹۵) بیان کرده بودند که هرچه غلظت افزایش یابد، میزان سفتی در محلول‌های مورد بررسی (شیره، کنسانتره، قند مایع خرما و محلول‌های شکر) افزایش می‌یابد و این افزایش سفتی در غلظت‌های بالاتر، بیشتر مشاهده شد. همچنین آن‌ها گزارش

۶- آزمون ارزیابی رنگ

مقدار ۳۰ گرم از هر نمونه را داخل یک پلیت کوچک ریخته، به‌گونه‌ای که سطح پلیت برای همه نمونه‌ها به صورت همگن و با ضخامت یکسان درآید. نمونه‌های آماده شده را در داخل جعبه سیاه مخصوص پردازش تصویر قرار داده و با استفاده از لامپ فلورسنس، محیط داخل جعبه روشن شد. یک دوربین ۸ مگاپیکسل Canon EOS 1000D در فاصله ۲۰ سانتی‌متری نمونه قرار داده و عکس‌برداری از این نمونه‌ها با استفاده از این دوربین (بدون زوم و فلاش) با لنز ۴ و سرعت ISO-400 انجام شد. تصاویر با استفاده از نرم‌افزار ویرایش تصویر فتوشاپ نسخه ۶ پیش‌پردازش و سپس خصوصیات رنگی آن (a^* , b^* و L^*) با استفاده از نرم‌افزار J image Nسخه ۱/۴۴۰ آنالیز شد.

۷- آنالیز آماری طرح

به منظور تجزیه و تحلیل داده‌ها، آزمایش‌ها در قالب آزمون فاکتوریل بر پایه طرح کاملاً تصادفی با دو متغیر مستقل درجه بریکس و درصد عسل انجام شد. نتایج در معرض آنالیز واریانس قرار گرفته و میانگین‌ها با آزمون توکی در سطح آماری ۹۵ درصد

با توجه به نتایج آزمون سفتی در جدول (۶)، بالاترین میزان سفتی به پخشینه B79P35 و کمترین آن به پخشینه B74P25 اختصاص دارد و اختلاف بین آن‌ها معنی دار بود ($P < 0.05$). این پارامتر کاملاً متأثر از میزان درجه بریکس عصاره مالت است، چراکه پخشینه B79P35 درجه بریکس بالاتری دارد. کلیه پخشینه‌های دارای میزان درجه بریکس مشابه در دامنه مشخص و محدودی از سفتی قرار داشتند. همان‌طور که در شکل (۱) مشاهده می‌شود با افزایش میزان درجه بریکس عصاره مالت، میزان سفتی پخشینه‌های مالت عسلی افزایش می‌یابد. با توجه به فرمولاسیون پخشینه‌ها که عمدتاً حاوی ترکیبات قندی محلول در

در برخی پژوهش‌ها اشاره شده است که نوع ترکیب قندی بر میزان سفتی تأثیر معنی داری ندارد به عنوان مثال، نتایج شوریده و همکاران (۱۳۹۰) نشان داد که جایگزینی قند تاگاتوز به جای ساکارز در شکلات‌شیری، بر سفتی بافت آن تأثیر معنی داری نداشته است ($P > 0.05$). [۲۶].

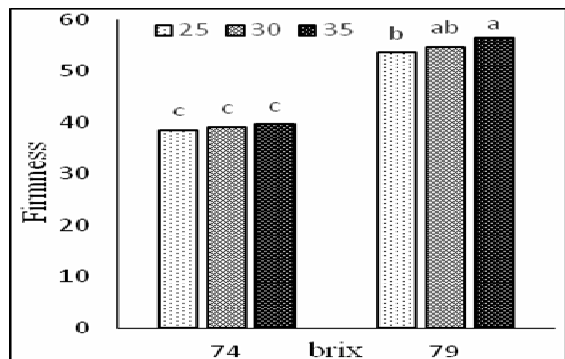


Fig 1 Data of texture firmness of honey-malt spread at different brix (74 and 79 °Brix), different percent of honey (Values with the different superscripts in the same column are significantly different ($P > 0.05$)).

عملدهی پژوهشگران در این زمینه بیان نمودند که نوع ترکیب قندی بر خصوصیت سفتی بافت تأثیرگذار است. به عنوان مثال بلسکک-ریچانویک و همکاران (۲۰۱۵) خصوصیات بافتی شکلاتی را مورد بررسی قرار دادند که در فرمول آن از شیرین‌کننده‌های طبیعی به جای شکر معمولی استفاده شده بود. آن‌ها گزارش نمودند که با جایگزینی شیرین‌کننده‌های طبیعی به جای شکر معمولی، به دلیل بزرگ‌تر شدن اندازه ذرات، خصوصیات بافتی شکلات تغییر می‌کند و اندازه ذرات مخلوط با میزان سفتی شکلات ارتباط دارد و با جایگزینی شیرین‌کننده‌های طبیعی، میزان سفتی شکلات‌های تولید شده زیادتر می‌شود [۲۷]. در گزارش نتایج پژوهش اورین و همکاران (۲۰۱۳) آمده بود که محتویات قند فروکتوز عسل، اثر منفی بر پارامتر سفتی عسل دارد، اما اثر درصد قندهای گلوکز و ساکارز بر میزان سفتی عسل ناجیز است [۲۰]. گوناراتی و همکاران (۲۰۰۷) گزارش کردند که افزودن قندهای گلوکز و ساکارز منجر به افزایش سفتی ژل نشاسته گندم می‌شود. آن‌ها دلیل این نوع رفتار را این‌گونه توجیه نمودند که گلوکز و ساکارز می‌تواند ناحیه اتصال بیشتری را روی رشته‌های آمیلوز ایجاد کند و بنابراین باعث تغییر ترتیب و پیوند بین مولکولی رشته‌های آمیلوز می‌شود و درنتیجه سبب قوی‌تر

نمودند که در بریکس‌های پایین‌تر، مشابهت بین خصوصیات شیره، کنسانتره و قند مایع در مقایسه با محلول‌های شکر بیشتر بوده و تفاوت‌ها اغلب معنی دار نبودند [۱۹]. اورین و همکاران (۲۰۱۳) با بررسی خصوصیات بافتی ۶ نوع عسل رومانیایی مختلف بیان نمودند که درجه بریکس عسل تأثیر مثبت زیادی بر پارامتر سفتی عسل دارد [۲۰]. مولینا-روبویو و همکاران (۲۰۱۰) نیز گزارش کردند که با افزایش درجه بریکس شربت نیمه جامد حاوی شربت ذرت با فروکتوز بالا از ۳۱ به ۸۳ درجه، سفتی شربت به‌طور محسوسی افزایش می‌یابد [۲۱].

از طرف دیگر، نتایج نشان داد که با افزایش مقدار عسل از ۲۵ به ۳۵ درصد، میزان سفتی پخشینه افزایش می‌یابد. با مقایسه اعداد مربوط به سفتی بافت در دو درجه بریکس ۷۴ و ۷۹ می‌توان نتیجه گرفت که اثر افزایش درجه بریکس بر میزان سفتی پخشینه به مراتب بیشتر از اثر افزایش درصد عسل به پخشینه است. بهویژه در مورد پخشینه‌های با بریکس ۷۴ که اختلاف آن‌ها از لحاظ آماری معنی دار نبود ($P > 0.05$). بررسی سایر پژوهش‌ها نشان می‌دهد که باید علت افزایش میزان سفتی پخشینه در اثر افزایش درصد عسل را در توزیع اندازه ذرات، نوع و میزان پیوند بین اجزاء تشکیل‌دهنده جستجو نمود. تاگارت و هالبرت (۱۹۹۳) بیان کردند که با افزایش میزان اتصالات عرضی در ژل پلی ساکاریدی دکستران، سفتی ژل افزایش می‌یابد [۲۲]. بر اساس نتایج آفایکوا و همکاران (۲۰۰۸) توزیع اندازه ذرات، به‌طور معنی داری روی خصوصیات بافتی شکلات تیره^۱ تأثیرگذار است و با افزایش اندازه ذرات، سفتی بافت شکلات کاهش می‌یابد [۲۳]. کانها و همکاران (۲۰۱۰) گزارش نمودند که اندازه ذرات تشکیل‌دهنده در میزان مؤلفه‌های بافتی اهمیت دارد و هرنوع ترکیب، اثر بافتی خاص خود را دارد مثلاً در پخشینه‌های حاوی چربی مثل پنیر و شکلات، هرچه اندازه ذرات چربی در ترکیب پخشینه کوچک‌تر می‌شود، بافت این نوع از پخشینه‌ها نرم‌تر می‌گردد [۲۴]. دو و همکاران (۲۰۰۷) اثر توزیع اندازه ذرات را بر خصوصیات بافتی شکلات مورد بررسی قرار دادند نتایج آن‌ها نیز نشان داد که اندازه ذرات تأثیر معنی داری روی میزان سفتی شکلات دارد ($P < 0.05$). [۲۵]

1. dark

که اندازه ذرات، برهمکنش بین ذرات، تشکیل یا عدم تشکیل شبکه و نوع ترکیب به کار رفته در میزان قوام پخشینه تأثیرگذار است. عمادزاده و همکاران (۲۰۱۳) خصوصیات بافت کره پسته را با استفاده از ۳ نوع صمغ مختلف به عنوان جایگزین‌های چربی و شیرین‌کننده بررسی کردند. نتایج آنها نشان داد که بالاترین میزان مؤلفه قوام در نمونه‌های آماده شده با صمغ گزانتان بود که به علت تشکیل شبکه در هم‌تنیده گسترشده است و احتمالاً این شبکه در هم‌تنیده در طول زمان انبار کردن ایجاد شده است [۳۰].

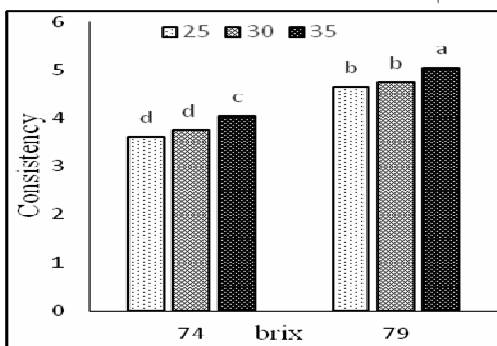


Fig 2 Data of texture consistency of honey-malt spread at different brix (74 and 79 °Brix), different percent of honey (Values with the different superscripts in the same column are significantly different ($P > 0.05$)).

گلاسپرینا و همکاران (۲۰۱۵) بررسی کردند که آیا خصوصیات ریزاساختاری شکلات به خصوص اندازه ذرات تأثیری بر بافت انواع شکلات دارد. نتایج بررسی بافت این شکلات‌ها نشان داد که در شکلات‌های با اندازه ذره بزرگ‌تر، مؤلفه قوام بیشتر بوده است. علت کم بودن قوام در سایر شکلات‌ها را میزان پائین برهمکنش بین ذرات بیان کرده بودند [۳۱]. در پژوهشی که توسط رضوی و کاراثیان (۲۰۱۲) انجام شده بود مشاهده شد که خمیرهای خرمای طلایی، قوام بیشتری در مقایسه با خمیرهای خرمای سیاه داشتند که احتمالاً این نتیجه با ترکیب قندهای خمیر طلایی و سیاه مرتبط است [۳۲]. اورین و همکاران (۲۰۱۳) نیز گزارش کردند که محتوای قند فروکتوز عسل، اثر منفی بر پارامتر قوام دارد اما اثر درصد قندهای گلوکز و ساکارز در عسل، بر میزان تغییر قوام ناچیز بود [۲۰].

نیروی چسبندگی

نتایج آنالیز واریانس نشان داد که اثر درجه بریکس و درصد عسل بر میزان پارامتر نیروی چسبندگی پخشینه، تأثیر بسیار معنی داری

شدن شبکه ژل آمیلوز می‌گردد [۲۸]. نتایج پژوهش رافائلایدوس و همکاران (۱۹۹۶) نشان داد که نوع قند در ایجاد خصوصیات بافتی مربای هلو اهمیت دارد چراکه قندهای مونوساکاریدی و مخلوط آنها با ساکارز، ژلهای سفت‌تری را نسبت به قندهای دی ساکاریدی ایجاد کرده بودند. در این پژوهش‌ها تأثیر نوع ترکیب قندهای محصول بر پارامتر سفتی مشهود بود [۲۹].

قوام

قوام، شاخصی برای تعیین پایداری پخشینه در طی نگهداری است. نتایج آنالیز واریانس نشان داد که اثر درجه بریکس و درصد عسل بر میزان قوام پخشینه، تأثیر بسیار معنی داری دارد ($P < 0.01$) اما اثرات متقابل این پارامترها، تأثیر معنی داری نشان نداد ($P > 0.05$). با توجه به جدول (۴)، پخشینه B79P35 بالاترین و پخشینه B74P25 کمترین میزان قوام را نشان دادند. مطابق شکل (۲)، در هر سطح عسل، با افزایش درجه بریکس عصاره مالت، میزان قوام پخشینه افزایش می‌یابد از این‌رو می‌توان نتیجه گرفت که درجه بریکس، نقش مستقلی در میزان قوام پخشینه دارد. نتایج مولینا-روبیو و همکاران (۲۰۱۰)، مردانی و همکاران (۱۳۹۵) و اورین و همکاران (۲۰۱۵) در بررسی قوام محصولات مشابه با پخشینه مالت عسلی، نتایج به دست آمده در این پژوهش را تأیید نمودند.

مولینا-روبیو و همکاران (۲۰۱۰) گزارش کردند که قوام شربت نیمه جامد حاوی شربت ذرت با فروکتوز بالا با افزایش درجه بریکس افزایش یافته است [۲۱]. مردانی و همکاران (۱۳۹۵) نیز گزارش نمودند که با افزایش غلظت، میزان قوام محلول‌های مورد بررسی (شیر، کنسانتره، قند مایع خرما و محلول‌های شکر) افزایش می‌یابد و میزان افزایش قوام در غلظت‌های بالاتر، بیشتر است [۱۹]. اورین و همکاران (۲۰۱۵) نیز گزارش کردند که درجه بریکس عسل بر میزان قوام عسل تأثیرگذار است. محتوای قند فروکتوز عسل، اثر منفی بر پارامتر قوام دارد اما اثر درصد قندهای گلوکز و ساکارز در عسل، بر پارامترهای بافتی ناچیز بود [۲۰].

همان‌طور که در شکل (۲) مشاهده می‌شود با افزایش میزان عسل نیز میزان قوام پخشینه افزایش می‌یابد، ولی این افزایش نسبت به تغییر درجه بریکس، منجر به روند افزایشی کمتری در قوام پخشینه شده است. بررسی نتایج سایر پژوهشگران نشان می‌دهد

در این پژوهش مشاهده شد که با تغییر نسبت اجزای پخشینه، پارامتر نیروی چسبندگی تغییر می‌کند، البته این نتیجه توسط سایر محققان نیز گزارش شده است. آن‌ها بیان کردند که با تغییر نوع و میزان اجزاء تشکیل‌دهنده هر ترکیب و برهم‌کنش بین ذرات، پارامتر نیروی چسبندگی تغییر می‌کند. به عنوان مثال اورین و همکاران (۲۰۱۳) در بررسی خصوصیات عسل‌های مختلف، بیان نمودند که محتوای قند فروکتوز عسل، اثر منفی بر پارامتر نیروی چسبندگی دارد اما اثر درصد قندهای گلوکز و ساکارز در عسل، بر این پارامتر بافتی بسیار کم است [۲۰]. رضوی و کاراثیان (۲۰۱۲) نیز گزارش کردند که خمیرهای خرمای طلایی، نیروی چسبندگی کمتری در مقایسه با خمیرهای خرمای سیاه داشتند که نمایانگر تأثیر نوع رقم خرما در تغییر این پارامتر بافتی است [۳۲]. همچنین کانها و همکاران (۲۰۱۰) با تأکید بر عوامل مؤثر بر نیروی چسبندگی، بیان کردند که میزان چسبندگی یک پخشینه با ساختار شبکه‌ای ترکیب و میزان برهم‌کنش بین اجزاء ترکیب ارتباط دارد [۲۴]. عmadزاده و همکاران (۲۰۱۳) میزان چسبندگی کره پسته با جایگزینی ۳ نوع صمغ را مورد ارزیابی قرار دادند. نتایج آن‌ها نشان داد که به علت تشکیل شبکه گستردگی در کره، بالاترین میزان چسبندگی کره پسته در نمونه‌های دارای صمغ گزاندان بود [۳۰]. گالیسرینا و همکاران (۲۰۱۵) هم با بررسی اثر اندازه ذرات بر میزان نیروی چسبندگی ترکیب، نشان دادند که در شکلات‌های با اندازه ذره بزرگ‌تر، مؤلفه نیروی چسبندگی بیشتر بوده و در سایر شکلات‌ها به دلیل پایین بودن میزان برهم‌کنش بین ذرات، نیروی چسبندگی کمتر است [۳۱].

شاخص گرانروی

نتایج آنالیز واریانس نشان داد که اثر درجه بریکس و درصد عسل بر میزان نیروی چسبندگی پخشینه، تأثیر بسیار معنی‌داری داشته ($P < 0.01$) ولی اثرات متقابل این پارامترها، تأثیر معنی‌داری نشان نداده است ($P > 0.05$). با توجه به شکل (۴)، از بین دو فاکتور اعمال شده در فرمول پخشینه، همچون سایر پارامترهای بافتی، درجه بریکس عصاره مالت در مقایسه با درصد افزودن عسل تأثیر بیشتری بر میزان شاخص گرانروی پخشینه‌ها داشته، با افزایش میزان درجه بریکس و درصد عسل، شاخص گرانروی افزایش یافت. بیشترین شاخص گرانروی در پخشینه B79P35 و کمترین آن در پخشینه B74P25 مشاهده شد. همچنین

داشته ($P < 0.01$) ولی اثرات متقابل این پارامترها، تأثیر معنی‌داری نداشته است ($P > 0.05$). با توجه به نتایج آزمون بافت در جدول (۶)، پخشینه B79P35 بالاترین و پخشینه B74P25 کمترین میزان نیروی چسبندگی را به خود اختصاص دادند. همان‌طور که در شکل (۳) نشان داده شده است با افزایش درجه بریکس عصاره مالت و افزایش میزان درصد عسل پخشینه، میزان نیروی چسبندگی افزایش یافته است و افزایش درجه بریکس عصاره مالت پخشینه، تأثیر چشمگیرتری بر تغییرات میزان نیروی چسبندگی داشت.

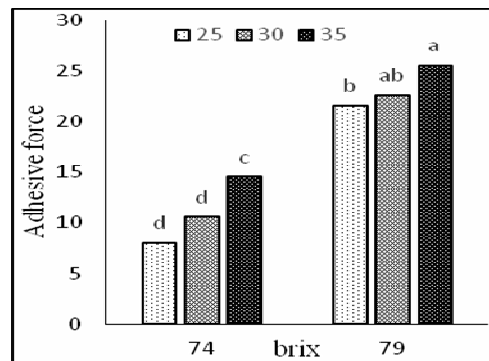


Fig 3 Data of texture adhesive force of honey-malt spread at different brix (74 and 79 °Brix), different percent of honey (Values with the different superscripts in the same column are significantly different ($P > 0.05$)).

پژوهش‌های مشابهی، این اثر افزایشی درجه بریکس را بر پارامتر نیروی چسبندگی پخشینه تائید کردند. به عنوان مثال در پژوهشی که توسط مولینا-روبو و همکاران (۲۰۱۰) انجام شد خصوصیات بافتی شربت نیمه جامد حاوی شربت ذرت با فروکتوز بالا را در دو درجه بریکس ۳۱ و ۸۳ درجه مورد مطالعه قرار دادند. نتایج آن‌ها نشان داد که با افزایش درجه بریکس، نیروی چسبندگی افزایش یافته است [۱۹]. نتایج اورین و همکاران (۲۰۱۳) هم نشان داد که درجه بریکس عسل بر میزان نیروی چسبندگی عسل تأثیر می‌گذارد [۲۰]. همچنین فیزمن و داما سیبو (۲۰۰۰) نیروی چسبندگی ژل حاوی صمغ کاراگینان و صمغ لوبيا را به همراه میزان زیادی محلول ساکاراز در دو درجه بریکس ۵۵ و ۷۲ درجه مورد بررسی قرار دادند. نتایج آن‌ها نیز تائید کننده این مطلب بود که در درجه بریکس بالاتر، ژل نیروی چسبندگی بالاتری پیدا می‌کند [۳۳].

شاخص گرانزوی شیره، کنسانتره و قند مایع در مقایسه با محلول‌های شکر به هم نزدیک‌تر بوده و تفاوت بین آن‌ها اغلب معنی‌دار نبوده است و قند مایع خرما، کمترین شاخص گرانزوی را در بین نمونه‌ها داشت [۱۹].

۲-۳- ارزیابی شاخص‌های رنگی پخشینه

رنگ عسل با ترکیبات معدنی آن ارتباط دارد. ترکیبات رنگی عسل شامل کلروفیل، گرانتوفیل، آنتوسیانین، تانن و کاروتون است و شدت رنگ عسل با این رنگدانه‌ها ارتباط دارد [۳۴ و ۳۵]. پژوهشگران مختلفی، شاخص‌های رنگی عسل را مورد بررسی قرار داده‌اند [۳۶، ۳۷، ۳۸، ۳۹ و ۴۰]. نتایج این محققان نشان داد که هر نوع عسل، بسته به منشأ تولید آن، شاخص‌های رنگی خاص خود را دارد و بنابراین نمی‌توان محدوده خاصی برای هر شاخص رنگی عسل در نظر گرفت و محتوای خاکستر، فعالیت آنتی‌اکسیدانی و محتوای فنولی کل بر رنگ عسل تأثیرگذار است. از طرف دیگر، پژوهشی در رابطه با شاخص‌های رنگی عصاره مالت مشاهده نشد.

شاخص L^* معرف میزان روشنی نمونه می‌باشد و دامنه آن از صفر (سیاه خالص) تا ۱۰۰ (سفید خالص) متغیر است. شاخص a^* میزان نزدیکی رنگ نمونه به رنگ‌های سبز و قرمز را نشان می‌دهد و دامنه آن از -۱۲۰ (سبز خالص) تا +۱۲۰ (قرمز خالص) متغیر است. شاخص b^* میزان نزدیکی رنگ نمونه به رنگ‌های آبی و زرد را نشان می‌دهد و دامنه آن از -۱۲۰ (آبی خالص) تا +۱۲۰ (زرد خالص) متغیر می‌باشد.

نتایج آنالیز واریانس نشان داد که اثر درجه بریکس و درصد عسل و اثرات متقابل این پارامترها، بر میزان هر سه شاخص L^* ، a^* و b^* ، تأثیر بسیار معنی‌داری داشته است ($P < 0.01$). با توجه به جدول (۶)، از بین دو فاکتور اعمال شده در فرمول پخشینه، درصد افزودن عسل در مقایسه با درجه بریکس عصاره مالت تأثیر بیشتری بر میزان شاخص‌های L^* و b^* پخشینه‌ها داشته، با افزایش میزان درجه بریکس و درصد عسل، شاخص‌های L^* و b^* افزایش یافت. بیشترین شاخص‌های L^* و b^* در پخشینه B79P35 و کمترین آن در پخشینه B79P25 مشاهده شد. اختلاف آماری معنی‌داری بین همه سطوح هر دو فاکتور در

اختلاف آماری معنی‌داری بین شاخص گرانزوی سطوح ۳۰ و ۳۵ درصد عسل برای هر دو درجه بریکس در ترکیب پخشینه مشاهده نگردید ($P > 0.05$).

نتایج کار محققانی چون اورین و همکاران (۲۰۱۳) و فیزمن و داماسیو (۲۰۰۰) نوع اثر درجه بریکس عصاره مالت را بر پارامتر شاخص گرانزوی پخشینه مالت‌علی تائید کردند. اورین و همکاران (۲۰۱۳) بیان کردند که درجه بریکس بر پارامتر شاخص گرانزوی عسل مؤثر است [۲۰]. همچنین فیزمن و داماسیو (۲۰۰۰) با تائید اثر درجه بریکس بر پارامتر شاخص گرانزوی ژل قندی حاوی صمغ کاراجینان و لوبيا، گزارش کردند که در درجه بریکس بالاتر، شاخص گرانزوی ژل بالاتر است [۳۳]. اورین و همکاران (۲۰۱۳) در بیان تأثیر نوع قندها بر این پارامتر بافتی گزارش کردند که درصد قندهای گلوکز و ساکارز عسل، بر پارامتر شاخص گرانزوی عسل تأثیر زیادی نداشته ولی محتوای فروکتوز عسل اثر منفی بر این پارامتر بافتی دارد [۲۰]. بنابراین در بیان علت تغییر پارامتر شاخص گرانزوی با تغییر درصد عسل، قابل ذکر است که با تغییر درصد عسل، میزان ترکیب قندی پخشینه تغییر کرده و این تغییر توانسته بر این پارامتر بافتی، اثر معنی‌داری داشته باشد ($P < 0.05$).

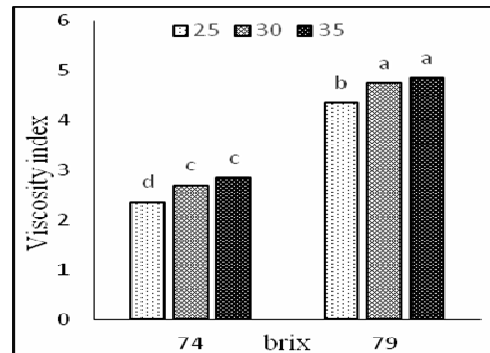


Fig 4 Data of texture viscosity index of honey-malt spread at different brix (74 and 79 °Brix), different percent of honey (Values with the different superscripts in the same column are significantly different ($P > 0.05$)).

مردانی و همکاران (۱۳۹۵) نیز با بررسی همین پارامتر بافتی در محلول‌های مورد بررسی (شیره، کنسانتره، قند مایع خرما و محلول‌های شکر) بیان کردند که با افزایش غلظت، شاخص گرانزوی در محلول‌های مورد بررسی افزایش یافته و این افزایش در غلظت‌های بالاتر، بیشتر مشاهده شد. در غلظت‌های پایین‌تر،

نتایج تحقیق اکبولوت و ساریکوبان (2012) نشان دادند که با افزودن عسل به ارده، شاخص‌های L^* و b^* تغییر معنی‌داری کرده ($P < 0.05$)، ولی روند خاصی نداشتند اما در شاخص a^* تغییر معنی‌دار همراه با روند مشاهده شد ($P > 0.05$)، به نحوی که با افزایش میزان عسل، شاخص a^* افزایش یافته است [۴۱].

۳-۳-۱- ارزیابی حسی پخشینه

۳-۳-۱-۱- ارزیابی حسی درجه‌بندی

۳-۳-۱-۱-۱- ارزیابی ویژگی‌های غیر دهانی

نتایج آنالیز واریانس نشان داد که تنها اثر درجه بrix میزان چسبندگی دستی، گرانروی و مالش‌پذیری پخشینه، تأثیر معنی‌داری داشته ($P < 0.01$) و اثر درصد عسل و اثرات متقابل این پارامترها، تأثیر معنی‌داری نداشته است ($P > 0.05$). همان‌طور که در جدول (۵)، مشاهده می‌کنید با افزایش درصد عسل، میزان چسبندگی دستی و گرانروی پخشینه افزایش یافته است ولی از میزان مالش‌پذیری پخشینه کاسته شده است.

ترکیب پخشینه مشاهده گردید ($P < 0.05$). شکل (۵)، تغییرات شاخص L^* را در انواع پخشینه مالت‌علی نشان می‌دهد. بررسی سایر نتایج نشان داد که پخشینه B74P35 کمترین و پخشینه B79P25 بالاترین میزان شاخص a^* را نیز به خود اختصاص دادند، با افزایش درجه بrix عصاره مالت و کاهش میزان درصد عسل پخشینه، میزان شاخص a^* افزایش یافته است. تغییر میزان درصد عسل به کار رفته در پخشینه، تأثیر چشمگیرتری بر تغییرات میزان شاخص a^* داشته است.

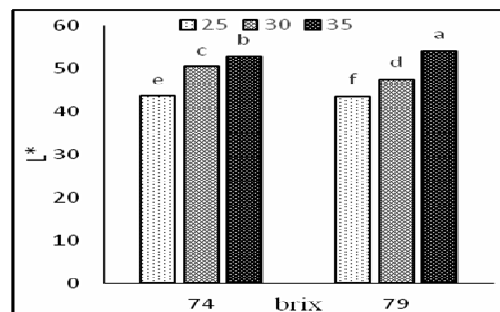


Fig 5 Data of L^* of honey-malt spread at different brix (74 and 79 °Brix), different percent of honey (Values with the different superscripts in the same column are significantly different ($P > 0.05$)).

Table 7 Textural data of sensory evaluation of honey-malt spread at different brix (74 and 79 °Brix), ratios mixes (65:35, 70:30 and 75:25).

| Moisture absorption | Adhesive ness to teeth | Firmness | Adhesive ness to palate | Cohesiveness | Adhesive ness to lips | Spreadability | viscosity | Manual adhesiveness | Sample code |
|---------------------|------------------------|--------------------|-------------------------|-------------------|-----------------------|-------------------|---------------------|---------------------|-------------|
| 3.70 ^a | 3.49 ^a | 3.21 ^b | 3.74 ^{ab} | 4.72 ^a | 4.48 ^{ab} | 4.25 ^a | 5.06 ^{abc} | 4.83 ^a | B74P35 |
| 3.85 ^a | 3.34 ^a | 3.11 ^b | 3.60 ^{ab} | 4.21 ^a | 3.90 ^{ab} | 4.74 ^a | 4.28 ^{bc} | 4.52 ^a | B74P30 |
| 4.10 ^a | 2.95 ^a | 2.71 ^b | 3.34 ^b | 3.84 ^a | 3.65 ^b | 5.05 ^a | 3.95 ^c | 4.49 ^a | B74P25 |
| 4.09 ^a | 3.85 ^a | 4.75 ^a | 4.93 ^a | 5.01 ^a | 5.66 ^a | 2.07 ^b | 5.89 ^a | 5.79 ^a | B79P35 |
| 4.28 ^a | 3.76 ^a | 4.17 ^{ab} | 4.53 ^{ab} | 4.72 ^a | 5.13 ^{ab} | 2.18 ^b | 5.67 ^{ab} | 5.61 ^a | B79P30 |
| 4.36 ^a | 3.71 ^a | 3.80 ^{ab} | 3.94 ^{ab} | 4.23 ^a | 4.85 ^{ab} | 2.31 ^b | 5.57 ^{ab} | 5.35 ^a | B79P25 |

Values with the different superscripts in the same column are significantly different ($P > 0.05$).

Table 8 Standard deviation of textural data of sensory evaluation of honey-malt spread at different brix (74 and 79 °Brix), ratios mixes (65:35, 70:30 and 75:25).

| Moisture absorption | Adhesive ness to teeth | Firmness | Adhesive ness to palate | Cohesiveness | Adhesive ness to lips | Spreadability | Viscosity | Manual adhesiveness | Sample code |
|---------------------|------------------------|----------|-------------------------|--------------|-----------------------|---------------|-----------|---------------------|-------------|
| 0.98 | 1.19 | 1.06 | 0.80 | 1.13 | 1.38 | 1.34 | 0.67 | 1.09 | B74P35 |
| 1.34 | 0.94 | 1.15 | 0.91 | 1.38 | 1.71 | 1.31 | 0.94 | 1.04 | B74P30 |
| 1.22 | 1.01 | 1.35 | 1.04 | 1.20 | 1.10 | 0.42 | 0.51 | 1.21 | B74P25 |
| 1.32 | 1.27 | 0.89 | 1.05 | 0.69 | 0.93 | 0.71 | 0.95 | 0.66 | B79P35 |
| 1.30 | 1.18 | 1.11 | 1.37 | 1.34 | 1.24 | 0.61 | 1.42 | 1.10 | B79P30 |
| 1.22 | 1.41 | 1.28 | 1.70 | 1.42 | 1.87 | 0.86 | 1.50 | 1.57 | B79P25 |

معنی داری بر انسجام، چسبندگی به دندان و جذب رطوبت ندارد ($P > 0.05$). همان طور که در جدول (۷)، مشاهده می شود با افزایش میزان عسل پخشینه از ۲۵ به ۳۵ درصد، به جز میزان جذب رطوبت، امتیاز همه ویژگی های دهانی افزایش یافته اند. با افزایش بریکس عصاره مالت از ۷۴ به ۷۹ درجه نیز میزان امتیاز همه ویژگی های دهانی در ارزیابی حسی افزایش نشان می دهد. مطابق جدول (۷)، از دید ارزیابان حسی، بیشترین چسبندگی به لب ها، انسجام و سفتی در نمونه پخشینه B79P35 و کمترین آنها در نمونه پخشینه B74P25 مشاهده شد. ارزیابان حسی، بیشترین امتیاز چسبندگی به کام، چسبندگی به دندان و جذب رطوبت را به نمونه پخشینه B79P25 و کمترین آنها را به نمونه پخشینه B74P35 اختصاص دادند. آپسانان و هایتا (۲۰۰۲) گزارش کردند که از نظر ارزیابان حسی، با افزایش درصد شیره انگور در ترکیب با ارده، تعییر معنی داری در میزان سفتی محصول نهایی رخ نمی دهد ($P > 0.05$) [۴۲]. البته نتایج تحقیق اکبیولات و کاکلر (۲۰۱۲) حاکی از این است که با افزودن عسل به ارده، چسبندگی مخلوط عسل - ارده از روند خاصی پیروی نمی کند، اما میزان مالش پذیری مخلوط عسل - ارده افزایش می یابد ولی این روند افزایشی نیز تنها تا سطح ۶ درصد بوده و پس از آن ثابت گردیده است [۴۱]. همچنین آپسانان و هایتا (۲۰۰۲) گزارش کردند که اختلاف آماری معنی داری بین سطوح استفاده شده (۲، ۴ و ۶ درصد شیره انگور) در میزان چسبندگی و مالش پذیری ترکیب شیره انگور - ارده وجود ندارد ($P > 0.05$) و نتایج نیز از روند خاصی پیروی نمی کند [۴۲].

۲-۳-۲- ارزیابی حسی هدونیک

نتایج آنالیز واریانس نشان داد که درجه بریکس و اثرات متقابل این پارامترها، تأثیر معنی داری بر رنگ، طعم، بو و پذیرش کلی پخشینه نداشته است ($P > 0.05$) و تنها درصد عسل بر میزان طعم پخشینه، تأثیر معنی داری دارد ($P < 0.01$).

با افزایش درجه بریکس عصاره مالت، میزان چسبندگی دستی و گرانزوی پخشینه افزایش می یابد ولی از میزان مالش پذیری کاسته می شود. درجه بریکس عصاره مالت در مقایسه با درصد افزودن عسل، تأثیر چشمگیرتری در تغییر میزان مالش پذیری پخشینه داشت.

نتایج نشان داد که بیشترین میزان چسبندگی دستی و گرانزوی در نمونه پخشینه B79P35 و کمترین آنها در نمونه پخشینه B74P25 مشاهده شد اما ارزیابان حسی، بیشترین امتیاز از نظر مالش پذیری پخشینه را به نمونه B74P25 و کمترین امتیاز آن را به نمونه B79P35 اختصاص دادند.

نتایج تحقیق اکبیولات و کاکلر (۲۰۱۲) حاکی از این است که با افزودن عسل به ارده، چسبندگی مخلوط عسل - ارده از روند خاصی پیروی نمی کند، اما میزان مالش پذیری مخلوط عسل - ارده افزایش می یابد ولی این روند افزایشی نیز تنها تا سطح ۶ درصد بوده و پس از آن ثابت گردیده است [۴۱]. همچنین آپسانان و هایتا (۲۰۰۲) گزارش کردند که اختلاف آماری معنی داری بین سطوح استفاده شده (۲، ۴ و ۶ درصد شیره انگور) در میزان چسبندگی و مالش پذیری ترکیب شیره انگور - ارده وجود ندارد ($P > 0.05$) و نتایج نیز از روند خاصی پیروی نمی کند [۴۲].

۲-۳-۳-۲- ارزیابی ویژگی های دهانی

نتایج آنالیز واریانس نشانگر این است که تنها درجه بریکس بر میزان چسبندگی به لب ها، چسبندگی به کام و سفتی پخشینه، تأثیر معنی داری داشته ($P < 0.01$) و درصد عسل و اثرات متقابل این پارامترها، تأثیر معنی داری نداشته است ($P > 0.05$). درجه بریکس، درصد عسل و اثرات متقابل این پارامترها، تأثیر

Table 9 Hedonic sensory evaluation of honey-malt spread at different brix (74 and 79 °Brix), ratios mixes (65:35, 70:30 and 75:25).

| Overall acceptance | Odor | Taste | Color | Sample code |
|------------------------|------------------------|-------------------------|------------------------|-------------|
| 5.70±0.94 ^a | 5.50±1.26 ^a | 5.90±0.73 ^a | 5.70±0.48 ^a | B74P35 |
| 5.60±0.69 ^a | 5.50±0.84 ^a | 5.70±0.82 ^{ab} | 5.50±0.70 ^a | B74P30 |
| 5.20±1.03 ^a | 5.40±1.07 ^a | 5.50±0.52 ^{ab} | 5.40±1.07 ^a | B74P25 |
| 6.00±0.81 ^a | 5.20±1.03 ^a | 6.00±0.47 ^a | 5.90±0.99 ^a | B79P35 |
| 5.60±0.84 ^a | 5.70±0.82 ^a | 5.90±0.56 ^a | 5.80±0.78 ^a | B79P30 |
| 5.30±0.67 ^a | 5.60±0.84 ^a | 5.00±0.81 ^b | 5.70±0.82 ^a | B79P25 |

Values with the different superscripts in the same column are significantly different ($P > 0.05$).

نتایج ارزیابان حسی در این پژوهش نشان داد که اکثر نمونه‌های پخته شده از مقبولیت خوبی برخوردار بوده‌اند به طوری که ارزیابان حسی برای ۱۱ درصد نمونه‌های پخته شده "گزینه" خیلی دوست دارم" و برای ۴۳ درصد دیگر نیز گزینه "متوسط دارم" را علامت زده‌اند. شکل (۶)، نتایج پذیرش کلی نمونه‌های پخته شده مالت عسلی را نشان می‌دهد.

نتایج تحقیق اکبیولات و کاکلر (۲۰۱۲) بر روی مخلوط عسل و اردک نشان داد که پذیرش کلی نمونه‌ها با افزایش درصد عسل، افزایش می‌یابد [۴۱].

۴-۳- همبستگی بین صفات حسی و دستگاهی

در این پژوهش، هر دو ارزیابی حسی و دستگاهی به کار برده شده است. از آنجا که اندازه‌گیری‌های دستگاهی می‌تواند خصوصیات مورد بررسی را به صورت کمی در اختیار قرار دهد، لذا بهتر است به عنوان مکمل تجزیه و تحلیل حسی استفاده شود، نتایج دستگاهی تنها در صورتی قابل اعتماد است که توسط نتایج آزمون حسی تائید شده باشد [۴۳]. به همین منظور آزمون همبستگی بین تمامی صفات حسی و دستگاهی بررسی شده در این پژوهش صورت گرفت (شکل (۷)) اما تنها نتایجی در جدول (۱۰) گزارش شده است که همبستگی بالایی را نشان داده است.

همان‌طور که در جدول (۹)، ملاحظه می‌گردد در همه سطوح مریبوط به درجه بربکس عصاره مالت در پخته شده با افزایش

درصد عسل از ۲۵ به ۳۵ درصد، میزان رنگ، طعم و پذیرش کلی پخته شده افزایش یافته، ولی این تغییرات فقط برای امتیاز طعم پخته شده معنی دار بوده است ($P < 0.05$). همچنین نتایج این آزمون حاکی از این است که تفاوت بین پخته شده‌ها آنقدر محسوس نبوده است که ارزیابان بتوانند بین نمونه‌های پخته شده تمایزی قائل شوند و حتی روند تغییر نتایج نیز نشانگر همین مطلب است، زیرا با تغییر درصد عسل و درجه بربکس عصاره مالت، روند خاصی در امتیازدهی ارزیابان حسی مشاهده نشده است. اکبیولات و کاکلر (۲۰۱۲) بیان کردند که با افزودن عسل به اردک، تغییر محسوسی در طعم محصول نهایی ایجاد نمی‌شود و نتایج آن نیز از روند خاصی پیروی نمی‌کند [۴۱].

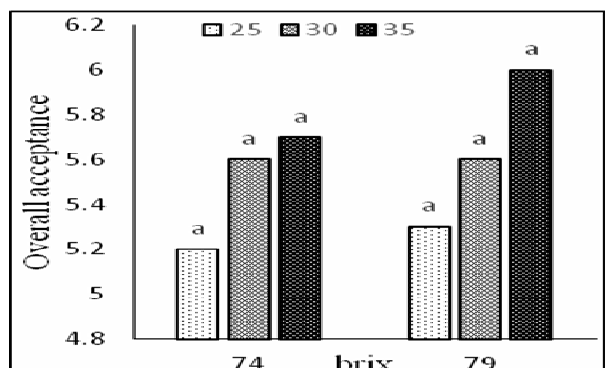


Fig 6 Data of overall acceptance of honey-malt spread at different brix (74 and 79 °Brix), different percent of honey (Values with the different superscripts in the same column are significantly different ($P > 0.05$)).

Table 10 The pearson correlation coefficient between some sensory and instrumental properties

| Pearson correlation coefficient | Sensory property | Instrumental property |
|---------------------------------|------------------------|-----------------------|
| 0.972 | viscosity | consistency |
| 0.988 | Manual adhesiveness | adhesive force |
| 0.982 | Adhesiveness to lips | adhesive force |
| 0.923 | Adhesiveness to palate | adhesive force |
| 0.955 | Adhesiveness to teeth | adhesive force |
| 0.935 | firmness | firmness |
| 0.938 | viscosity | viscosity index |
| - 0.987 | Spreadability | firmness |

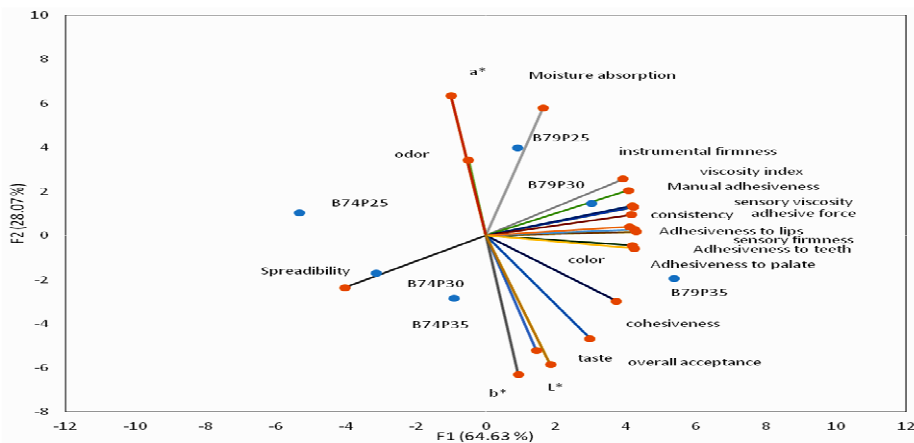


Fig7 Correlation between some sensory and instrumental properties

۴- نتیجه‌گیری

- [1] Varnam, A. H., & Sutherland, J. P. (1994). Butter, margarine and spreads. In Milk and milk products (pp. 224-274). 1st edition, Chapman and Hall publisher.
- [2] Patange, D. D., Patel, A. A., Singh, R. R. B., Patil, G. R., & Bhosle, D. N. (2013). Storage related changes in ghee-based low-fat spread. *Journal of Food Science and Technology*, 50(2), 346-352.
- [3] Batt, P. J., & Liu, A. (2012). Consumer behaviour towards honey products in Western Australia. *British Food Journal*, 114(2), 285-297.
- [4] Holzwarth, M., Korhummel, S., Siekmann, T., Carle, R., & Kammerer, D. R. (2013). Influence of different pectins, process and storage conditions on anthocyanin and colour retention in strawberry jams and spreads. *LWT-Food Science and Technology*, 52(2), 131-138.
- [5] Henning, D. R., Baer, R. J., Hassan, A. N., & Dave, R. (2006). Major advances in concentrated and dry milk products, cheese, and milk fat-based spreads. *Journal of dairy science*, 89(4), 1179-1188.
- [6] Peinado, I., Rosa, E., Heredia, A., Escriche, I., & Andrés, A. (2013). Influence of processing on the volatile profile of strawberry spreads made with isomaltulose. *Food Chemistry*, 138(1), 621-629.
- [7] Iran national standard,(2014) Barley malt extract-Specifications and test methods, 2nd Revision, No.3897

با توجه به نتایج به دست آمده می توان نتیجه گرفت که پخشینه های حاوی عصاره مالت با درجه بریکس بالا و درصد بیشتر عسل، خصوصیات بافت سفتی، قوام، نیروی چسبندگی و شاخص گرانزوی بالاتری داشتند. نتایج بررسی شاخص های رنگی نیز نشان داد که با افزایش درجه بریکس عصاره مالت، شاخص های a* و b* افزایش یافته است درحالی که با افزایش درصد عسل پخشینه، L* و b* افزایش و a* کاهش یافته است. با بررسی خصوصیات حسی مشاهده شد که بیشتر ارزیابان، نمونه های حاوی عصاره مالت غلیظتر و درصد عسل بیشتر را ترجیح می دهند و بالاترین امتیاز میزان چسبندگی دستی، گرانزوی، چسبندگی به لب ها، چسبندگی به کام، چسبندگی به دندان، سفتی و انسجام را به پخشینه های با درجه بریکس بالا و درصد عسل بیشتر و تنها بیشترین امتیاز مالش پذیری را به پخشینه های با کمترین میزان عسل دادند. با توجه به اینکه درصد عسل بر مالش پذیری پخشینه ها تاثیر معنی دار نداشته ($P > 0.05$)، می توان با چشم پوشی از اثر نسبتاً کم درصد عسل در کاهش مالش پذیری پخشینه های مالت عسلی، به این نتیجه رسید که تمایل ارزیابان حسی به پخشینه های حاوی عصاره مالت با بریکس ۷۹ درجه و میزان عسل ۳۵ درصد، بیشتر است.

- and practices (Vol. 5999). *Springer Science & Business Media*.
- [19] Mardani, M., Asgar Farahnaky, A., Mesbahi, Gh. R., Golmakan, M. T., Majzoobi, M. (2016). Comparative study of rheological and textural behavior of date syrup, date concentrate, Date liquid sugar and sugar solutions(translated). *journal of Science & Technology*, 13(53), 47-56.
- [20] Oroian, M., Amariei, S., Escriche, I., & Gutt, G. (2013). Rheological aspects of Spanish honeys. *Food and Bioprocess Technology*, 6(1), 228-241.
- [21] Molina-Rubio, M. P., Casas-Alencáster, N. B., & Martínez-Padilla, L. P. (2010). Effect of formulation and processing conditions on the rheological and textural properties of a semi-liquid syrup model. *Food research international*, 43(3), 678-682.
- [22] McTaggart, L. E., & Halbert, G. W. (1993). Assessment of polysaccharide gels as drug delivery vehicles. *International Journal of Pharmaceutics*, 100(1), 199-206.
- [23] Afoakwa, E. O., Paterson, A., Fowler, M., & Vieira, J. (2008). Relationship between rheological, textural and melting properties of dark chocolate as influenced by particle size distribution and composition. *European Food Research and Technology*, 227(4), 1215-1223.
- [24] Cunha, C. R., Dias, A. I., & Viotto, W. H. (2010). Microstructure, texture, colour and sensory evaluation of a spreadable processed cheese analogue made with vegetable fat. *Food Research International*, 43(3), 723-729.
- [25] Do, T. A., Hargreaves, J. M., Wolf, B., Hort, J., & Mitchell, J. R. (2007). Impact of particle size distribution on rheological and textural properties of chocolate models with reduced fat content. *Journal of food Science*, 72(9), E541-E552.
- [26] Shoorideh, M., Taslimi, A., Azizi, M. H., Mohammadifar, M. A. (2011). Study of effects of D-tagatose and inulin as sugar substitutes on the physical, chemical and rheological properties of milk chocolate (translated). *journal of Science & Technology*, 8(9), 113-125.
- [27] Belščak-Cvitanović, A., Komes, D., Dujmović, M., Karlović, S., Biškić, M., Brnčić, M., & Ježek, D. (2015). Physical, bioactive and sensory quality parameters of [8] Goupy, P., Hugues, M., Boivin, P., & Amiot, M. J. (1999). Antioxidant composition and activity of barley (*Hordeum vulgare*) and malt extracts and of isolated phenolic compounds. *Journal of the Science of Food and Agriculture*, 79(12), 1625-1634.
- [9] Qingming, Y., Xianhui, P., Weibao, K., Hong, Y., Yidan, S., Li, Z., ... & Guoan, L. (2010). Antioxidant activities of malt extract from barley (*Hordeum vulgare* L.) toward various oxidative stress *in vitro* and *in vivo*. *Food Chemistry*, 118(1), 84-89.
- [10] Laufer, S., Schwarz, R., & Laufer, L. (1942). Vitamin B complex content of beers, ales, and malt tonics. *Journal of Food Science*, 7(4), 306-308.
- [11] Briggs, D. E. (1978). Some uses of barley malt. In *Barley* (pp. 560-586). Springer Netherlands.
- [12] Hücker, B., Wakeling, L., & Vriesekoop, F. (2012). Investigations into the thiamine and riboflavin content of malt and the effects of malting and roasting on their final content. *Journal of Cereal Science*, 56(2), 300-306.
- [13] Coghe, S., D'Hollander, H., Verachttert, H., & Delvaux, F. R. (2005). Impact of dark specialty malts on extract composition and wort fermentation. *Journal of the Institute of Brewing*, 111(1), 51-60.
- [14] Sepehri, H. (2007). The effect of β -glucan on prolactin secretion in gh3/b6 cells. *Iranian Journal of Science and Technology (Sciences)*, 31(3), 223-229.
- [15] Bogdanov, S., Jurendic, T., Sieber, R., & Gallmann, P. (2008). Honey for nutrition and health: a review. *Journal of the American College of Nutrition*, 27(6), 677-689.
- [16] Vandamme, L., Heyneman, A. L. E. X. A. N. D. E. R., Hoeksema, H. E. N. D. R. I. K., Verbelen, J. O. Z. E. F., & Monstrey, S. (2013). Honey in modern wound care: A systematic review. *Burns*, 39(8), 1514-1525.
- [17] Glicerina, V., Balestra, F., Dalla Rosa, M., & Romani, S. (2013). Rheological, textural and calorimetric modifications of dark chocolate during process. *Journal of Food Engineering*, 119(1), 173-179.
- [18] Lawless, H. T., & Heymann, H. (2010). Sensory evaluation of food: principles

- [36] Anupama, D., Bhat, K. K., & Sapna, V. K. (2003). Sensory and physico-chemical properties of commercial samples of honey. *Food Research International*, 36(2), 183-191.
- [37] Terrab, A., Díez, M. J., & Heredia, F. J. (2003). Palynological, physico - chemical and colour characterization of Moroccan honeys. II. Orange (*Citrus sp.*) honey. *International Journal of Food Science & Technology*, 38(4), 387-394.
- [38] Ahmed, J., Prabhu, S. T., Raghavan, G. S. V., & Ngadi, M. (2007). Physico-chemical, rheological, calorimetric and dielectric behavior of selected Indian honey. *Journal of Food Engineering*, 79(4), 1207-1213.
- [39] Kuś, P. M., Congiu, F., Teper, D., Sroka, Z., Jerković, I., & Tuberoso, C. I. G. (2014). Antioxidant activity, color characteristics, total phenol content and general HPLC fingerprints of six Polish unifloral honey types. *LWT-Food Science and Technology*, 55(1), 124-130.
- [40] Shafiee, S., Minaei, S., Moghaddam-Charkari, N., & Barzegar, M. (2014). Honey characterization using computer vision system and artificial neural networks. *Food Chemistry*, 159, 143-150.
- [41] Akbulut, M., & Coklar, H. (2008). Physicochemical and rheological properties of sesame pastes (tahin) processed from hulled and unhulled roasted sesame seeds and their blends at various levels. *Journal of Food Process Engineering*, 31(4), 488-502.
- [42] Alpaslan, M., & Hayta, M. (2002). Rheological and sensory properties of pekmez (grape molasses)/tahin (sesame paste) blends. *Journal of Food Engineering*, 54(1), 89-93.
- [43] Shieh, C. J., Chang, C. Y., Chen, C. S., & Kilcast, D. (2004). Improving the texture of fried food. *Texture in Food: volume 2: Solid Foods*, 501-52.
- reduced sugar chocolates formulated with natural sweeteners as sucrose alternatives. *Food chemistry*, 167, 61-70.
- [28] Gunaratne, A., Ranaweera, S., & Corke, H. (2007). Thermal, pasting, and gelling properties of wheat and potato starches in the presence of sucrose, glucose, glycerol, and hydroxypropyl β -cyclodextrin. *Carbohydrate Polymers*, 70(1), 112-122.
- [29] Raphaelides, S. N., Ambatzidou, A., & Petridis, D. (1996). Sugar composition effects on textural parameters of peach jam. *Journal of Food Science*, 61(5), 942-946.
- [30] Emadzadeh, B., Razavi, S. M., & Schleining, G. (2013). Dynamic rheological and textural characteristics of low-calorie pistachio butter. *International Journal of Food Properties*, 16(3), 512-526.
- [31] Glicerina, V., Balestra, F., Dalla Rosa, M., & Romani, S. (2016). Microstructural and rheological characteristics of dark, milk and white chocolate: A comparative study. *Journal of Food Engineering*, 169, 165-171.
- [32] Razavi, S. M., & Karazhiyan, H. (2012). Rheological and textural characteristics of date paste. *International Journal of Food Properties*, 15(2), 281-291.
- [33] Fiszman, S. M., & Damasio, M. H. (2000). Suitability of single-compression and TPA tests to determine adhesiveness in solid and semi-solid foods. *Journal of Texture Studies*, 31(1), 55-68.
- [34] Aparna, A. R., & Rajalakshmi, D. (1999). Honey-its characteristics, sensory aspects, and applications. *Food Reviews International*, 15(4), 455-471.
- [35] Zerrouk, S. H., Fallico, B. G., Arena, E. N., Ballistreri, G. F., & Boughediri, L. A. (2011). Quality evaluation of some honey from the central region of Algeria. *Jordan Journal of Biological Sciences*, 4(4), 243-248.

Investigation of textural and sensory properties of honey-malt spread

Dianat, M.¹, Shahidi, F.², Taghizadeh, M.^{3*}, Razavi, S.M.A²

1. M.Sc. Student of Department of Food Science and Technology, Faculty of Agriculture, Ferdowsi University of Mashhad (FUM)

2. Professor of Department of Food Science and Technology, Faculty of Agriculture , Ferdowsi University of Mashhad (FUM)

3. Assistant Professor of Department of Food Science and Technology, Faculty of Agriculture, Ferdowsi University of Mashhad (FUM)

(Received: 2015/11/19 Accepted: 2016/01/31)

In this study, textural properties of malt-honey spread, a new product, were evaluated with textual analysis instrument and back-extrusion test. Two level of brix of barley malt extract (74 and 79 degree), three ratio of malt extract/honey (65:35, 70:30 and 75:25) have been used. Color parameters of spreads were investigated by image processing technique. 12 tests were conducted to evaluate the sensorial characteristic of the samples. Textural analysis showed that firmness, consistency, adhesive force and viscosity index increased as the brix of malt extract and ratio of honey increased which the brix degree has more impact than ratio of honey. As the degree of the brix of malt extract increased the L*, a* and b* increased however ratio of honey increased the L* and b* but a* decreased. Sensorial investigation showed that spread containing highest brix degree of malt extract and highest ratio of honey had the highest hedonic scores and although these samples had the highest manual adhesiveness, viscosity, adhesiveness to lips, adhesiveness to palate, adhesiveness to teeth, firmness and adhesiveness. However the spreads with the lowest ratio of honey had the most spreadability, but this attribute was not significant between spreads ($P>0.05$) and spreads had highest scores of spreadability. By neglecting the effect of honey ratio in spreadability samples, it can be concluded that spread containing highest ratio of honey and 79 brix degree of malt extract have been preferred by the panelist.

Keywords: Malt-honey, Spread, Sensory, Textural

* Corresponding Author E-Mail Address: mtaghizadeh@um.ac.ir